

Codes géométriques sur les courbes et les surfaces

Elena Berardini



Séminaire de Théorie des Nombres
Laboratoire de Mathématiques Nicolas Oresme
25 février 2022

I. Codes géométriques : une introduction

II. Calcul d'espaces de Riemann–Roch de courbes

III. Codes géométriques : des courbes aux surfaces

Qu'est ce que c'est un code (linéaire) ?

Un outil pour transmettre et stocker des données.

Propriété : détection et correction des erreurs qui se produisent pendant la transmission/le stockage.

Qu'est que c'est un code (linéaire) ?

Un outil pour transmettre et stocker des données.

Propriété : détection et correction des erreurs qui se produisent pendant la transmission/le stockage.

Un \mathbb{F}_q –sous espace vectoriel de \mathbb{F}_q^n (codes linéaires).

Trois paramètres :

- **n**, la longueur ;
- **k**, la dimension ;
- **d**, la distance minimale.

Taux de transmission : k/n

Détecte jusqu'à $d - 1$ erreurs

Corrige jusqu'à $\lfloor \frac{d-1}{2} \rfloor$ erreurs.

Qu'est que c'est un code (linéaire) ?

Un outil pour transmettre et stocker des données.

Propriété : détection et correction des erreurs qui se produisent pendant la transmission/le stockage.



Un \mathbb{F}_q -sous espace vectoriel de \mathbb{F}_q^n (codes linéaires).

Trois paramètres :

- **n**, la longueur ;
- **k**, la dimension ;
- **d**, la distance minimale.

Taux de transmission : k/n

Détecte jusqu'à $d - 1$ erreurs

Corrige jusqu'à $\lfloor \frac{d-1}{2} \rfloor$ erreurs.

Qu'est que c'est un code (linéaire) ?

Un outil pour transmettre et stocker des données.

Propriété : détection et correction des erreurs qui se produisent pendant la transmission/le stockage.



OBJECTIF : encoder le plus de données possible et détecter et corriger le plus d'erreurs possible !

Un \mathbb{F}_q -sous espace vectoriel de \mathbb{F}_q^n (codes linéaires).

Trois paramètres :

- **n**, la longueur ;
- **k**, la dimension ;
- **d**, la distance minimale.

Taux de transmission : k/n

Détecte jusqu'à $d - 1$ erreurs

Corrige jusqu'à $\lfloor \frac{d-1}{2} \rfloor$ erreurs.

Qu'est que c'est un code (linéaire) ?

Un outil pour transmettre et stocker des données.

Propriété : détection et correction des erreurs qui se produisent pendant la transmission/le stockage.



OBJECTIF : encoder le plus de données possible et détecter et corriger le plus d'erreurs possible !

Un \mathbb{F}_q -sous espace vectoriel de \mathbb{F}_q^n (codes linéaires).

Trois paramètres :

- **n**, la longueur ;
- **k**, la dimension ;
- **d**, la distance minimale.

Taux de transmission : k/n

Détecte jusqu'à $d - 1$ erreurs

Corrige jusqu'à $\lfloor \frac{d-1}{2} \rfloor$ erreurs.

OBJECTIF : avoir **k** et **d** aussi grands que possible !

Qu'est que c'est un code (linéaire) ?

Un outil pour transmettre et stocker des données.

Propriété : détection et correction des erreurs qui se produisent pendant la transmission/le stockage.



OBJECTIF : encoder le plus de données possible et détecter et corriger le plus d'erreurs possible !

Un \mathbb{F}_q -sous espace vectoriel de \mathbb{F}_q^n (codes linéaires).

Trois paramètres :

- **n**, la longueur ;
- **k**, la dimension ;
- **d**, la distance minimale.

Taux de transmission : k/n

Détecte jusqu'à $d - 1$ erreurs

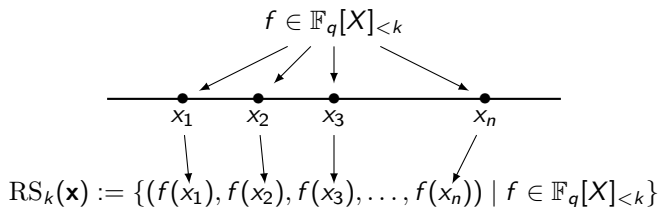
Corrige jusqu'à $\lfloor \frac{d-1}{2} \rfloor$ erreurs.

OBJECTIF : avoir **k** et **d** aussi grands que possible !

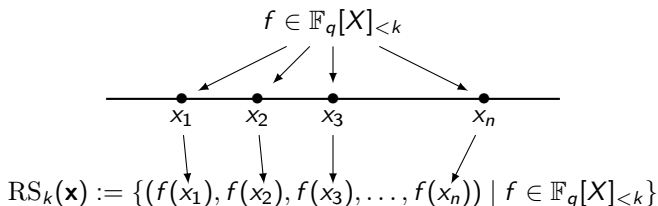
Borne de Singleton : $k + d \leq n + 1$.

\rightsquigarrow compromis entre redondance et capacité de correction d'erreurs.

Codes de Reed–Solomon...

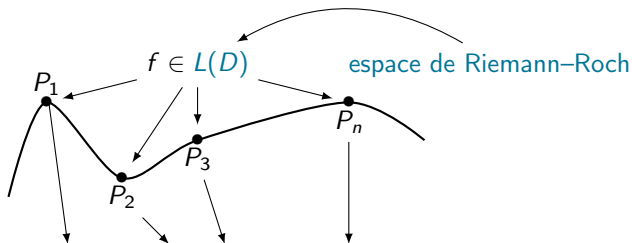


Codes de Reed–Solomon...



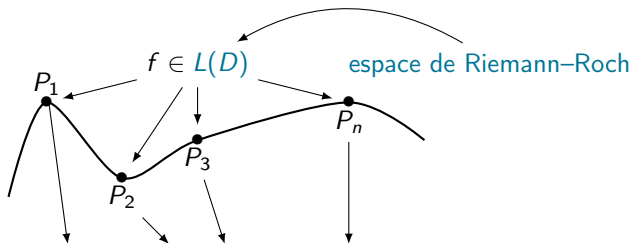
- ✓ Paramètres optimaux : $k + d = n + 1$ (codes MDS)
- ✓ Algorithme de décodage efficace (Berlekamp, 1968)
- ✓ Opérations sur les données
- ⚠ Inconvénient : $n \leq q$

...et codes géométriques (codes AG)



$$C((P_i)_i, D) := \{(f(P_1), f(P_2), f(P_3), \dots, f(P_n)) \mid f \in L(D)\}$$

...et codes géométriques (codes AG)

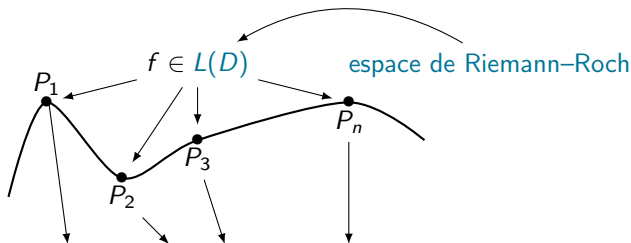


$$C((P_i)_i, D) := \{(f(P_1), f(P_2), f(P_3), \dots, f(P_n)) \mid f \in L(D)\}$$

Longueur : $|\#\mathcal{C}(\mathbb{F}_q) - (q + 1)| \leq g \lfloor 2\sqrt{q} \rfloor$

Dimension : $\dim L(D) \rightsquigarrow$ théorème de Riemann–Roch

...et codes géométriques (codes AG)



$$C((P_i)_i, D) := \{(f(P_1), f(P_2), f(P_3), \dots, f(P_n)) \mid f \in L(D)\}$$

Longueur : $|\#\mathcal{C}(\mathbb{F}_q) - (q + 1)| \leq g \lfloor 2\sqrt{q} \rfloor$

Dimension : $\dim L(D) \rightsquigarrow$ théorème de Riemann–Roch

Proposition

Les paramètres $[n, k, d]$ des codes géométriques sur les courbes satisfont

$$n + 1 - g \leq k + d \leq n + 1.$$

\rightsquigarrow les codes AG sont à distance g de l'optimalité

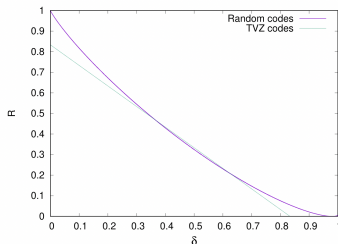
Bref histoire des codes géométriques

1981 : Goppa introduit les codes AG sur les courbes algébriques

Bref histoire des codes géométriques

1981 : Goppa introduit les codes AG sur les courbes algébriques

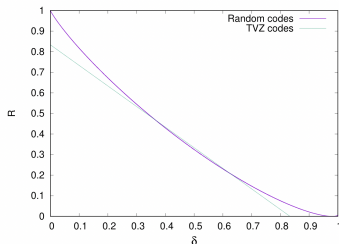
1982 : Tsfasman, Vlăduț et Zink utilisent les codes AG pour dépasser la borne de Gilbert–Varshamov



Bref histoire des codes géométriques

1981 : Goppa introduit les codes AG sur les courbes algébriques

1982 : Tsfasman, Vlăduț et Zink utilisent les codes AG pour dépasser la borne de Gilbert–Varshamov



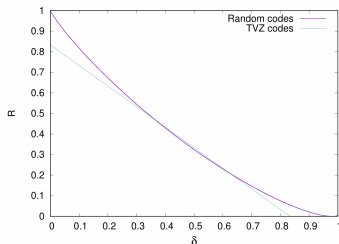
XXs : des different familles de courbes sont étudiées afin d'obtenir des codes AG avec des bons paramètres

↪ on utilise souvent les courbes dont les espaces de Riemann–Roch sont déjà connus (e.g. courbes Hermitiennes)

Bref histoire des codes géométriques

1981 : Goppa introduit les codes AG sur les courbes algébriques

1982 : Tsfasman, Vlăduț et Zink utilisent les codes AG pour dépasser la borne de Gilbert–Varshamov



XXs : des different familles de courbes sont étudiées afin d'obtenir des codes AG avec des bons paramètres

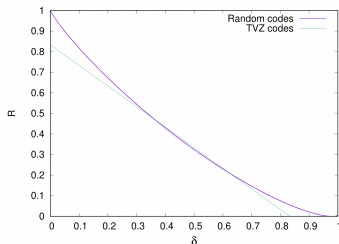
↪ on utilise souvent les courbes dont les espaces de Riemann–Roch sont déjà connus (e.g. courbes Hermitiennes)

XXIs : les codes AG sont utilisés dans des nouvelles applications en théorie de l'information

Bref histoire des codes géométriques

1981 : Goppa introduit les codes AG sur les courbes algébriques

1982 : Tsfasman, Vlăduț et Zink utilisent les codes AG pour dépasser la borne de Gilbert–Varshamov

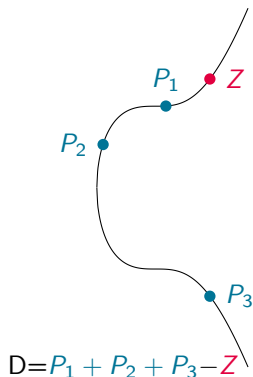


XXs : des different familles de courbes sont étudiées afin d'obtenir des codes AG avec des bons paramètres
→ on utilise souvent les courbes dont les espaces de Riemann–Roch sont déjà connus (e.g. courbes Hermitiennes)

XXIs : les codes AG sont utilisés dans des nouvelles applications en théorie de l'information \rightsquigarrow **besoin de calculer les espaces de Riemann–Roch**

Espaces de Riemann–Roch de courbes

Diviseurs sur une courbe \mathcal{C} : $D = \sum_{P \in \mathcal{C}} n_P P$, $n_P \in \mathbb{Z}$



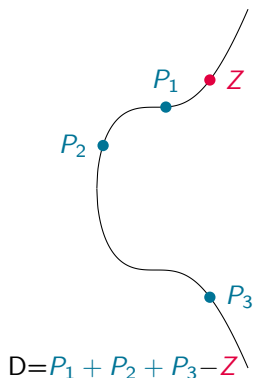
L'espace de Riemann–Roch $L(D)$ est l'espace de toutes les fonctions de la forme $\frac{G}{H} \in \mathbb{K}(\mathcal{C})$ telles que :

- si $n_P < 0$ alors P doit être un zéro de G (de multiplicité $\geq -n_P$)
- si $n_P > 0$ alors P peut être un zéro of H (de multiplicité $\leq n_P$)
- G/H n'a pas d'autres pôles en dehors des points P avec $n_P > 0$

Ici : Z doit être un zéro de G , les P_i peuvent être des zéros de H

Espaces de Riemann–Roch de courbes

Diviseurs sur une courbe \mathcal{C} : $D = \sum_{P \in \mathcal{C}} n_P P$, $n_P \in \mathbb{Z}$



L'espace de Riemann–Roch $L(D)$ est l'espace de toutes les fonctions de la forme $\frac{G}{H} \in \mathbb{K}(\mathcal{C})$ telles que :

- si $n_P < 0$ alors P doit être un zéro de G (de multiplicité $\geq -n_P$)
- si $n_P > 0$ alors P peut être un zéro of H (de multiplicité $\leq n_P$)
- G/H n'a pas d'autres pôles en dehors des points P avec $n_P > 0$

Ici : Z doit être un zéro de G , les P_i peuvent être des zéros de H

Théorème de Riemann–Roch $\rightsquigarrow \dim L(D) = \deg D + 1 - g$

Exemple jouet

Soit $\mathcal{C} = \mathbb{P}^1$, $P = [0 : 1]$ et $Q = [1 : 1]$. Soit $D = P - Q$, alors

$$f \in L(D) \iff \begin{cases} f \text{ a un zéro d'ordre au moins 1 en } Q \\ f \text{ peut avoir un pôle d'ordre au plus 1 en } P \\ f \text{ n'a pas d'autres pôles en dehors de } P \end{cases}$$

Exemple jouet

Soit $\mathcal{C} = \mathbb{P}^1$, $P = [0 : 1]$ et $Q = [1 : 1]$. Soit $D = P - Q$, alors

$$f \in L(D) \iff \begin{cases} f \text{ a un zéro d'ordre au moins 1 en } Q \\ f \text{ peut avoir un pôle d'ordre au plus 1 en } P \\ f \text{ n'a pas d'autres pôles en dehors de } P \end{cases}$$

$$f = \frac{X-1}{X} \text{ est une solution}$$

$$g = 0, \deg D = 0 \xrightarrow[\text{Riemann–Roch}]{\text{Théorème de}} \dim L(D) = \deg D + 1 - g = 1$$

→ f engendre l'espace des solutions

Exemple jouet

Soit $\mathcal{C} = \mathbb{P}^1$, $P = [0 : 1]$ et $Q = [1 : 1]$. Soit $D = P - Q$, alors

$$f \in L(D) \iff \begin{cases} f \text{ a un zéro d'ordre au moins 1 en } Q \\ f \text{ peut avoir un pôle d'ordre au plus 1 en } P \\ f \text{ n'a pas d'autres pôles en dehors de } P \end{cases}$$

$$f = \frac{X-1}{X} \text{ est une solution}$$

$$g = 0, \deg D = 0 \xrightarrow[\text{Riemann-Roch}]{\text{Théorème de}} \dim L(D) = \deg D + 1 - g = 1$$

→ f engendre l'espace des solutions

⚠ on n'a pas une méthode explicite pour calculer une base de $L(D)$
Comment résoudre le problème **en général**?

Problème de Riemann–Roch : état de l'art

Méthode géométrique :

(Théorie de Brill–Noether ~ 1874)

- Goppa, Le Brigand–Risler (80's)
- Huang–Ierardi (90's)
- Khuri-Makdisi (2007)
- Le Gluher–Spaenlehauer (2018)
- Abelard–Couvreur–Lecerf (2020)

Méthode arithmétique :

(Idéaux dans de corps de fonctions)

- Hensel–Landberg (1902)
- Coates (1970)
- Davenport (1981)
- Hess (2001)

Problème de Riemann–Roch : état de l'art

Méthode géométrique :

(Théorie de Brill–Noether ~ 1874)

- Goppa, Le Brigand–Risler (80's)
- Huang–Ierardi (90's)
- Khuri-Makdisi (2007)
- Le Gluher–Spaenlehauer (2018)
- Abelard–Couvreur–Lecerf (2020)

Méthode arithmétique :

(Idéaux dans de corps de fonctions)

- Hensel–Landberg (1902)
- Coates (1970)
- Davenport (1981)
- Hess (2001)

Courbes

ordinaires/nodales :

Courbes

non-ordinaires :

Algorithme Las Vegas qui calcule $L(D)$ en

$\tilde{O}((\delta^2 + \deg D)^{\frac{\omega+1}{2}})$ operations¹

⚠ aucun exposant de complexité explicite



¹ $2 \leq \omega \leq 3$ est un exposant faisable pour l'algèbre linéaire ($\omega = 2.373$)

Méthode de Brill–Noether

Notations :

- $(H) = \sum_{P \in \mathcal{C}} \text{ord}_P(H)P$ – diviseur de zéros de H avec multiplicité
- $D \geq D' \rightsquigarrow D - D' = \sum n_P P$ avec $n_P \geq 0 \ \forall P$ ($D - D'$ est effectif)

Méthode de Brill–Noether

Notations :

- $(H) = \sum_{P \in \mathcal{C}} \text{ord}_P(H)P$ – diviseur de zéros de H avec multiplicité
- $D \geq D' \rightsquigarrow D - D' = \sum n_P P$ avec $n_P \geq 0 \ \forall P$ ($D - D'$ est effectif)

Description de $L(D)$ pour $\mathcal{C} : F(X, Y, Z) = 0$ courbe plane projective.

Les éléments non-nuls sont de la forme $\frac{G_i}{H}$ où

- H satisfait $(H) \geq D$
- H s'annule en tout point singulier de \mathcal{C} avec multiplicité ad hoc
- $\deg G_i = \deg H$, G_i copremier avec F et $(G_i) \geq (H) - D$

Méthode de Brill–Noether

Notations :

- $(H) = \sum_{P \in \mathcal{C}} \text{ord}_P(H)P$ – diviseur de zéros de H avec multiplicité
- $D \geq D' \rightsquigarrow D - D' = \sum n_P P$ avec $n_P \geq 0 \ \forall P$ ($D - D'$ est effectif)

Description de $L(D)$ pour $\mathcal{C} : F(X, Y, Z) = 0$ courbe plane projective.

Les éléments non-nuls sont de la forme $\frac{G_i}{H}$ où

- H satisfait $(H) \geq D$
- H s'annule en tout point singulier de \mathcal{C} avec multiplicité ad hoc
- $\deg G_i = \deg H$, G_i copremier avec F et $(G_i) \geq (H) - D$

Comment gérer les points singuliers ?

Méthode de Brill–Noether

Notations :

- $(H) = \sum_{P \in \mathcal{C}} \text{ord}_P(H)P$ – diviseur de zéros de H avec multiplicité
- $D \geq D' \rightsquigarrow D - D' = \sum n_P P$ avec $n_P \geq 0 \ \forall P$ ($D - D'$ est effectif)

Description de $L(D)$ pour $\mathcal{C} : F(X, Y, Z) = 0$ courbe plane projective.

Les éléments non-nuls sont de la forme $\frac{G_i}{H}$ où

- H satisfait $(H) \geq D$
- H s'annule en tout point singulier de \mathcal{C} avec multiplicité ad hoc
- $\deg G_i = \deg H$, G_i copremier avec F et $(G_i) \geq (H) - D$

Comment gérer les points singuliers ?

\rightsquigarrow le diviseur d'adjonction \mathcal{A} "contient" les points singuliers de \mathcal{C} avec leurs multiplicités

Méthode de Brill–Noether

Notations :

- $(H) = \sum_{P \in \mathcal{C}} \text{ord}_P(H)P$ – diviseur de zéros de H avec multiplicité
- $D \geq D' \rightsquigarrow D - D' = \sum n_P P$ avec $n_P \geq 0 \ \forall P$ ($D - D'$ est effectif)

Description de $L(D)$ pour $\mathcal{C} : F(X, Y, Z) = 0$ courbe plane projective.

Les éléments non-nuls sont de la forme $\frac{G_i}{H}$ où

- H satisfait $(H) \geq D$
- H satisfait $(H) \geq \mathcal{A}$ (on dira que “ H est adjoint à la courbe”)
- $\deg G_i = \deg H$, G_i copremier avec F et $(G_i) \geq (H) - D$

Comment gérer les points singuliers ?

\rightsquigarrow le diviseur d'adjonction \mathcal{A} "contient" les points singuliers de \mathcal{C} avec leurs multiplicités

Méthode de Brill-Noether

Notations :

- $(H) = \sum_{P \in \mathcal{C}} \text{ord}_P(H)P$ – diviseur de zéros de H avec multiplicité
- $D \geq D' \rightsquigarrow D - D' = \sum n_P P$ avec $n_P \geq 0 \ \forall P$ ($D - D'$ est effectif)

Description de $L(D)$ pour $\mathcal{C} : F(X, Y, Z) = 0$ courbe plane projective.

Les éléments non-nuls sont de la forme $\frac{G_i}{H}$ où

- H satisfait $(H) \geq D$
- H satisfait $(H) \geq \mathcal{A}$
- $\deg G_i = \deg H$, G_i copremier avec F et $(G_i) \geq (H) - D$

Comment gérer les points singuliers ?

\rightsquigarrow le diviseur d'adjonction \mathcal{A} "contient" les points singuliers de \mathcal{C} avec leurs multiplicités

Comment gérer les diviseurs ?

Méthode de Brill–Noether

Notations :

- $(H) = \sum_{P \in \mathcal{C}} \text{ord}_P(H)P$ – diviseur de zéros de H avec multiplicité
- $D \geq D' \rightsquigarrow D - D' = \sum n_P P$ avec $n_P \geq 0 \ \forall P$ ($D - D'$ est effectif)

Description de $L(D)$ pour $\mathcal{C} : F(X, Y, Z) = 0$ courbe plane projective.

Les éléments non-nuls sont de la forme $\frac{G_i}{H}$ où

- H satisfait $(H) \geq D$
- H satisfait $(H) \geq \mathcal{A}$
- $\deg G_i = \deg H$, G_i copremier avec F et $(G_i) \geq (H) - D$

Comment gérer les points singuliers ?

\rightsquigarrow le diviseur d'adjonction \mathcal{A} "contient" les points singuliers de \mathcal{C} avec leurs multiplicités

Comment gérer les diviseurs ?

expansions en séries de
representations multi-set $((P_i)_i, n_i)$

\rightsquigarrow

opérations sur les diviseurs
avec coût négligeable

Sketch de l'algorithme

Input

$C : F(X, Y, Z) = 0$ une courbe plane de degré δ , D un diviseur lisse.

Étape 1 : Calcul du diviseur d'adjonction \mathcal{A}

Étape 2 : Calcul du dénominateur commun H

Étape 3 : Calcul de $(H) - D$

Étape 4 : Calcul des numérateurs G_i (proche de l'étape 2)

Output

Une base de l'espace de Riemann–Roch $L(D)$ en termes de H et des G_i .

Sketch de l'algorithme

Input

$C : F(X, Y, Z) = 0$ une courbe plane de degré δ , D un diviseur lisse.

Étape 1 : Calcul du diviseur d'adjonction \mathcal{A}

Étape 2 : Calcul du dénominateur commun H

Étape 3 : Calcul de $(H) - D \checkmark \leftarrow \tilde{O}(\delta^2 + \deg D)$

Étape 4 : Calcul des numérateurs G_i (proche de l'étape 2)

Output

Une base de l'espace de Riemann–Roch $L(D)$ en termes de H et des G_i .

Sketch de l'algorithme

Input

$C : F(X, Y, Z) = 0$ une courbe plane de degré δ , D un diviseur lisse.

Étape 1 : Calcul du diviseur d'adjonction \mathcal{A}

Étape 2 : Calcul du dénominateur commun H

Étape 3 : Calcul de $(H) - D \checkmark \leftarrow \tilde{O}(\delta^2 + \deg D)$

Étape 4 : Calcul des numérateurs G_i (proche de l'étape 2)

Output

Une base de l'espace de Riemann–Roch $L(D)$ en termes de H et des G_i .

Échauffement: diviseur d'adjonction dans le cas ordinaire

Définition

Soit $P \in \text{Sing}(\mathcal{C})$. Le *diviseur d'adjonction local* est

$$\mathcal{A}_P = - \sum_{\mathcal{P}|P} \text{val}_{\mathcal{P}} \left(\frac{dx}{F_y} \right) \mathcal{P}.$$

Échauffement: diviseur d'adjonction dans le cas ordinaire

Définition

Soit $P \in \text{Sing}(\mathcal{C})$. Le *diviseur d'adjonction local* est

$$\mathcal{A}_P = - \sum_{\mathcal{P}|P} \text{val}_{\mathcal{P}} \left(\frac{dx}{F_y} \right) \mathcal{P}.$$

Soit $P \in \text{Sing}(\mathcal{C})$ **ordinaire** de multiplicité m , wlog $P = (0 : 0 : 1)$. Alors F se factorise localement comme

$$F(x, y, 1) = u(x, y) \prod_{i=1}^m (y - \varphi_i(x))$$

avec $u \in \overline{\mathbb{K}}[[x, y]]$ inversible, $\varphi_i(x) \in x\overline{\mathbb{K}}[[x]]$ et $\varphi'_i(0) \neq \varphi'_j(0)$.

Échauffement: diviseur d'adjonction dans le cas ordinaire

Définition

Soit $P \in \text{Sing}(\mathcal{C})$. Le *diviseur d'adjonction local* est

$$\mathcal{A}_P = - \sum_{\mathcal{P}|P} \text{val}_{\mathcal{P}} \left(\frac{dx}{F_y} \right) \mathcal{P}.$$

Soit $P \in \text{Sing}(\mathcal{C})$ **ordinaire** de multiplicité m , wlog $P = (0 : 0 : 1)$. Alors F se factorise localement comme

$$F(x, y, 1) = u(x, y) \prod_{i=1}^m (y - \varphi_i(x))$$

avec $u \in \overline{\mathbb{K}}[[x, y]]$ inversible, $\varphi_i(x) \in x\overline{\mathbb{K}}[[x]]$ et $\varphi'_i(0) \neq \varphi'_j(0)$.

Germe de courbe paramétré par $\varphi_i(x)$	\longleftrightarrow	place \mathcal{P}_i dans le corps de fonctions $\overline{\mathbb{K}}(\mathcal{C})$
---	-----------------------	--

Échauffement: diviseur d'adjonction dans le cas ordinaire

Définition

Soit $P \in \text{Sing}(\mathcal{C})$. Le *diviseur d'adjonction local* est

$$\mathcal{A}_P = - \sum_{\mathcal{P}|P} \text{val}_{\mathcal{P}} \left(\frac{dx}{F_y} \right) \mathcal{P}.$$

Soit $P \in \text{Sing}(\mathcal{C})$ **ordinaire** de multiplicité m , wlog $P = (0 : 0 : 1)$. Alors F se factorise localement comme

$$F(x, y, 1) = u(x, y) \prod_{i=1}^m (y - \varphi_i(x))$$

avec $u \in \overline{\mathbb{K}}[[x, y]]$ inversible, $\varphi_i(x) \in x\overline{\mathbb{K}}[[x]]$ et $\varphi'_i(0) \neq \varphi'_j(0)$.

Germe de courbe paramétré par $\varphi_i(x)$	\longleftrightarrow	place \mathcal{P}_i dans le corps de fonctions $\overline{\mathbb{K}}(\mathcal{C})$
---	-----------------------	--

Le *diviseur d'adjonction local* devient $\mathcal{A}_P = (m - 1) \sum_{i=1}^m \mathcal{P}_i$.

La condition d'adjonction via les séries de Puiseux

Soit $F \in \mathbb{K}[x, y]$ absolument irréductible, unitaire en y et de degré d en y . $F \in \mathbb{K}((x))[y]$ admet d racines distinctes dans $\overline{\mathbb{K}}\langle\langle x \rangle\rangle$, $\varphi_1, \dots, \varphi_d$, et s'écrit

$$F = \prod_{i=1}^d (y - \varphi_i) = \prod_{i=1}^d \left(y - \sum_{j=n}^{\infty} \beta_{i,j} x^{j/e_i} \right).$$

La condition d'adjonction via les séries de Puiseux

Soit $F \in \mathbb{K}[x, y]$ absolument irréductible, unitaire en y et de degré d en y . $F \in \mathbb{K}((x))[y]$ admet d racines distinctes dans $\overline{\mathbb{K}}\langle\langle x \rangle\rangle$, $\varphi_1, \dots, \varphi_d$, et s'écrit

$$F = \prod_{i=1}^d (y - \varphi_i) = \prod_{i=1}^d \left(y - \sum_{j=0}^{\infty} \beta_{i,j} x^{j/e_i} \right).$$

On fixe φ de degré e , ζ une racine primitive e -ème de l'unité. Pour $0 \leq k < e$ on peut construire autres e séries de Puiseux en remplaçant $x^{1/e}$ par $\zeta^k x^{1/e}$.

La condition d'adjonction via les séries de Puiseux

Soit $F \in \mathbb{K}[x, y]$ absolument irréductible, unitaire en y et de degré d en y . $F \in \mathbb{K}((x))[y]$ admet d racines distinctes dans $\overline{\mathbb{K}}\langle\langle x \rangle\rangle$, $\varphi_1, \dots, \varphi_d$, et s'écrit

$$F = \prod_{i=1}^d (y - \varphi_i) = \prod_{i=1}^d \left(y - \sum_{j=n}^{\infty} \beta_{i,j} x^{j/e_i} \right).$$

On fixe φ de degré e , ζ une racine primitive e -ème de l'unité. Pour $0 \leq k < e$ on peut construire autres e séries de Puiseux en remplaçant $x^{1/e}$ par $\zeta^k x^{1/e}$. Elles sont toutes équivalentes et représentées par...

Définition

Une **Expansion de Puiseux Rationnelle** est un couple

$$(X(t), Y(t)) = \left(\gamma t^e, \sum_{j=n}^{\infty} \beta_j t^j \right) \text{ tel que } F(X(t), Y(t)) = 0$$

La condition d'adjonction via les séries de Puiseux

Soit $F \in \mathbb{K}[x, y]$ absolument irréductible, unitaire en y et de degré d en y . $F \in \mathbb{K}((x))[y]$ admet d racines distinctes dans $\overline{\mathbb{K}}\langle\langle x \rangle\rangle$, $\varphi_1, \dots, \varphi_d$, et s'écrit

$$F = \prod_{i=1}^d (y - \varphi_i) = \prod_{i=1}^d \left(y - \sum_{j=n}^{\infty} \beta_{i,j} x^{j/e_i} \right).$$

On fixe φ de degré e , ζ une racine primitive e -ème de l'unité. Pour $0 \leq k < e$ on peut construire autres e séries de Puiseux en remplaçant $x^{1/e}$ par $\zeta^k x^{1/e}$. Elles sont toutes équivalentes et représentées par...

Définition

Une **Expansion de Puiseux Rationnelle** est un couple

$$(X(t), Y(t)) = \left(\gamma t^e, \sum_{j=n}^{\infty} \beta_j t^j \right) \text{ tel que } F(X(t), Y(t)) = 0$$

Expansions de Puiseux
Rationnelles de $F(x, y, 1)$



places de $\overline{\mathbb{K}}(\mathcal{C})$ dans la
carte $z = 1$

La condition d'adjonction via les séries de Puiseux

Soit $F \in \mathbb{K}[x, y]$ absolument irréductible, unitaire en y et de degré d en y . $F \in \mathbb{K}((x))[y]$ admet d racines distinctes dans $\overline{\mathbb{K}}\langle\langle x \rangle\rangle$, $\varphi_1, \dots, \varphi_d$, et s'écrit

$$F = \prod_{i=1}^d (y - \varphi_i) = \prod_{i=1}^d \left(y - \sum_{j=n}^{\infty} \beta_{i,j} x^{j/e_i} \right).$$

On fixe φ de degré e , ζ une racine primitive e -ème de l'unité. Pour $0 \leq k < e$ on peut construire autres e séries de Puiseux en remplaçant $x^{1/e}$ par $\zeta^k x^{1/e}$. Elles sont toutes équivalentes et représentées par...

Définition

Une **Expansion de Puiseux Rationnelle** est un couple

$$(X(t), Y(t)) = \left(\gamma t^e, \sum_{j=n}^{\infty} \beta_j t^j \right) \text{ tel que } F(X(t), Y(t)) = 0$$

$$\begin{array}{ccc} \text{Expansions de Puiseux} & & \text{places de } \overline{\mathbb{K}}(\mathcal{C}) \text{ dans la} \\ \text{Rationnelles de } F(x, y, 1) & \longleftrightarrow & \text{carte } z = 1 \end{array}$$

⚠ les RPE sont souvent définies sur une extension de \mathbb{K} .
C'est une question algorithmique de prendre l'extension minimale du corps.

Le diviseur d'adjonction

Soit $P \in \text{Sing}(\mathcal{C})$ ordinaire, wlog $P = (0 : 0 : 1)$. Alors F se factorise localement comme

$$F(x, y, 1) = u(x, y) \prod_{i=1}^m (y - \varphi_i(x))$$

avec $u \in \mathbb{K}[[x, y]]$ inversible et φ_i series de Puiseux de $F \in \overline{\mathbb{K}}[[x]][y]$.

Le diviseur d'adjonction

Soit $P \in \text{Sing}(\mathcal{C})$ ~~ordinaire~~ ordinaire, wlog $P = (0 : 0 : 1)$. Alors F se factorise localement comme

$$F(x, y, 1) = u(x, y) \prod_{i=1}^m (y - \varphi_i(x))$$

avec $u \in \mathbb{K}[[x, y]]$ inversible et φ_i series de Puiseux de $F \in \overline{\mathbb{K}}[[x]][y]$.

$\{\varphi_1, \dots, \varphi_m\} \rightsquigarrow$ séries de Puiseux Rationnels/places $(X_i(t), Y_i(t))$
 $i \in \{1, \dots, s\}, s \leq m$

Le diviseur d'adjonction

Soit $P \in \text{Sing}(\mathcal{C})$ ~~ordinaire~~, wlog $P = (0 : 0 : 1)$. Alors F se factorise localement comme

$$F(x, y, 1) = u(x, y) \prod_{i=1}^m (y - \varphi_i(x))$$

avec $u \in \mathbb{K}[[x, y]]$ inversible et φ_i series de Puiseux de $F \in \overline{\mathbb{K}}[[x]][y]$.

$\{\varphi_1, \dots, \varphi_m\} \rightsquigarrow$ séries de Puiseux Rationnels/places $(X_i(t), Y_i(t))$
 $i \in \{1, \dots, s\}, s \leq m$

Le **diviseur d'adjonction local** devient

$$\mathcal{A}_P = - \sum_{\mathcal{P}|P} \text{val}_t \left(\frac{et^{e-1}}{F_y(X(t), Y(t), 1)} \right) \mathcal{P}.$$

Le diviseur d'adjonction

Soit $P \in \text{Sing}(\mathcal{C})$ ~~ordinaire~~, wlog $P = (0 : 0 : 1)$. Alors F se factorise localement comme

$$F(x, y, 1) = u(x, y) \prod_{i=1}^m (y - \varphi_i(x))$$

avec $u \in \mathbb{K}[[x, y]]$ inversible et φ_i series de Puiseux de $F \in \overline{\mathbb{K}}[[x]][y]$.

$\{\varphi_1, \dots, \varphi_m\} \rightsquigarrow$ séries de Puiseux Rationnels/places $(X_i(t), Y_i(t))$
 $i \in \{1, \dots, s\}, s \leq m$

Le **diviseur d'adjonction local** devient

$$\mathcal{A}_P = - \sum_{\mathcal{P}|P} \text{val}_t \left(\frac{et^{e-1}}{F_y(X(t), Y(t), 1)} \right) \mathcal{P}.$$

Dans la pratique : algorithme pour les séries de Puiseux ²

$\rightsquigarrow \mathcal{A}$ calculé avec $\tilde{O}(\delta^3)$ opérations

²A. Poteaux et M. Weimann, Annales Herni Lebesgue, 2021

Sketch de l'algorithme

Input

$C : F(X, Y, Z) = 0$ une courbe plane de degré δ , D un diviseur lisse.

Étape 1 : Calcul du diviseur d'adjonction $\mathcal{A} \checkmark \leftarrow \tilde{\mathcal{O}}(\delta^3)$

Étape 2 : Calcul du dénominateur commun H

Étape 3 : Calcul de $(H) - D \checkmark \leftarrow \tilde{\mathcal{O}}(\delta^2 + \deg D)$

Étape 4 : Calcul des numérateurs G_i (proche de l'étape 2)

Output

Une base de l'espace de Riemann–Roch $L(D)$ en termes de H et des G_i .

Sketch de l'algorithme

Input

$C : F(X, Y, Z) = 0$ une courbe plane de degré δ , D un diviseur lisse.

Étape 1 : Calcul du diviseur d'adjonction $\mathcal{A} \checkmark \leftarrow \tilde{O}(\delta^3)$

Étape 2 : Calcul du dénominateur commun H

Étape 3 : Calcul de $(H) - D \checkmark \leftarrow \tilde{O}(\delta^2 + \deg D)$

Étape 4 : Calcul des numérateurs G_i (proche de l'étape 2)

Output

Une base de l'espace de Riemann–Roch $L(D)$ en termes de H et des G_i .

Trouver un dénominateur en pratique

Soit $d = \deg H$.

Condition $(H) \geq \mathcal{A} + D$

\rightsquigarrow système linéaire avec $\deg \mathcal{A} + \deg D \sim \delta^2 + \deg D$ équations

\rightsquigarrow l'élimination de Gauss coûte

$\tilde{O}((d\delta + \delta^2 + \deg D)^\omega)$ opérations sur \mathbb{K}

Trouver un dénominateur en pratique

Soit $d = \deg H$.

Condition $(H) \geq \mathcal{A} + D$

\rightsquigarrow système linéaire avec $\deg \mathcal{A} + \deg D \sim \delta^2 + \deg D$ équations

\rightsquigarrow l'élimination de Gauss coûte

$\tilde{O}((d\delta + \delta^2 + \deg D)^\omega)$ opérations sur \mathbb{K}

Quelle taille a d ?

On montre que $d = \left\lceil \frac{(\delta-1)(\delta-2) + \deg D}{\delta} \right\rceil$ est suffisant

\rightsquigarrow dénominateur calculé avec $\tilde{O}((\delta^2 + \deg D)^\omega)$ opérations sur \mathbb{K}

Trouver un dénominateur en pratique

Soit $d = \deg H$.

Condition $(H) \geq \mathcal{A} + D$

\rightsquigarrow système linéaire avec $\deg \mathcal{A} + \deg D \sim \delta^2 + \deg D$ équations

\rightsquigarrow l'élimination de Gauss coûte

$\tilde{O}((d\delta + \delta^2 + \deg D)^\omega)$ opérations sur \mathbb{K}

Quelle taille a d ?

On montre que $d = \left\lceil \frac{(\delta-1)(\delta-2) + \deg D}{\delta} \right\rceil$ est suffisant

\rightsquigarrow dénominateur calculé avec $\tilde{O}((\delta^2 + \deg D)^\omega)$ opérations sur \mathbb{K}

Deuxième méthode: algèbre linéaire structurée

$$\text{val}_t(H(X(t), Y(t), 1) \geq \text{val}_t \left(\frac{et^{e-1}}{F_y(X(t), Y(t), 1)} \right)$$

\rightsquigarrow structure de $\mathbb{K}[x]$ -module

Sketch de l'algorithme

Input

$C : F(X, Y, Z) = 0$ une courbe plane de degré δ , D un diviseur lisse.

Étape 1 : Calcul du diviseur d'adjonction $\mathcal{A} \checkmark \leftarrow \tilde{O}(\delta^3)$

Étape 2 : Calcul du dénominateur commun $H \checkmark \leftarrow \tilde{O}((\delta^2 + \deg D)^\omega)$

Étape 3 : Calcul de $(H) - D \checkmark \leftarrow \tilde{O}(\delta^2 + \deg D)$

Étape 4 : Calcul des numérateurs G_i (proche de l'étape 2)

Output

Une base de l'espace de Riemann–Roch $L(D)$ en termes de H et des G_i .

Sketch de l'algorithme

Input

$C : F(X, Y, Z) = 0$ une courbe plane de degré δ , D un diviseur lisse.

Étape 1 : Calcul du diviseur d'adjonction $\mathcal{A} \checkmark \leftarrow \tilde{O}(\delta^3)$

Étape 2 : Calcul du dénominateur commun $H \checkmark \leftarrow \tilde{O}((\delta^2 + \deg D)^\omega)$

Étape 3 : Calcul de $(H) - D \checkmark \leftarrow \tilde{O}(\delta^2 + \deg D)$

Étape 4 : Calcul des numérateurs $G_i \checkmark \leftarrow \tilde{O}((\delta^2 + \deg D)^\omega)$

Output

Une base de l'espace de Riemann–Roch $L(D)$ en termes de H et des G_i .

Théorème (Abelard, B., Couvreur, Lecerf - preprint 2021)

L'algorithme présenté calcule $L(D)$ en $\tilde{O}((\delta^2 + \deg D)^\omega)$ opérations en \mathbb{K} .

Quoi retenir ?

- | | | |
|----------------------------------|---|--|
| 0. Codes AG sur les courbes | ↪ | besoin de calculer de manière efficace les espaces de Riemann–Roch $L(D)$ |
| 1. Méthode de Brill–Noether | ↪ | conditions nécessaires et suffisantes sur G et H pour que $G/H \in L(D)$ |
| 2. Séries de Puiseux | ↪ | gestion des points singuliers <i>non-ordinaires</i> de la courbe |
| 3. Algèbre linéaire (structurée) | ↪ | calcul de H et G en pratique |

Quoi retenir ?

- | | | |
|----------------------------------|---|--|
| 0. Codes AG sur les courbes | ↪ | besoin de calculer de manière efficace les espaces de Riemann–Roch $L(D)$ |
| 1. Méthode de Brill–Noether | ↪ | conditions nécessaires et suffisantes sur G et H pour que $G/H \in L(D)$ |
| 2. Séries de Puiseux | ↪ | gestion des points singuliers <i>non-ordinaires</i> de la courbe |
| 3. Algèbre linéaire (structurée) | ↪ | calcul de H et G en pratique |

Théorème

Algorithme de type Las Vegas qui calcule $L(D)$ en $\tilde{O}((\delta^2 + \deg D)^\omega)$ opérations.



Codes géométriques : des courbes aux surfaces

	Courbes	Surfaces
Diviseurs	sommes de points	sommes de courbes

Espace de Riemann–Roch associé à un diviseur sur une surface
= fonctions avec conditions sur leurs zéros et pôles

Codes géométriques : des courbes aux surfaces

	Courbes	Surfaces
Diviseurs	sommes de points	sommes de courbes

Espace de Riemann–Roch associé à un diviseur sur une surface

= fonctions avec conditions sur leurs zéros et pôles

\rightsquigarrow *construction de codes à partir de surfaces !*

$$C((P_i)_i, D) := \{(f(P_1), f(P_2), f(P_3), \dots, f(P_n)) \mid f \in L(D)\}$$

Codes géométriques : des courbes aux surfaces

	Courbes	Surfaces
Diviseurs	sommes de points	sommes de courbes

Espace de Riemann–Roch associé à un diviseur sur une surface

= fonctions avec conditions sur leurs zéros et pôles

\rightsquigarrow construction de codes à partir de surfaces !

$$C((P_i)_i, D) := \{(f(P_1), f(P_2), f(P_3), \dots, f(P_n)) \mid f \in L(D)\}$$

Pourquoi s'intéresser aux codes sur les surfaces ?

Nombre de points rationnels : $O(q^2)$ / surface **VS** $O(q)$ / courbe

\rightsquigarrow codes de même longueur sur des corps finis plus petit

Applications : constructions de codes localement recouvrables/decodables

Intérêt mathématique : nouvelles questions mathématiques qui se posent

Étude des paramètres

Longueur : bornée par le nombre de points rationnels sur la surface

Dimension : $\dim L(D) \rightsquigarrow$ théorème de Riemann–Roch pour les surfaces
⚠ Ne donne pas une méthode effective pour calculer une base de $L(D)$!

Distance minimale :

Définition

Soit C un code de longueur n . Soit $z(c)$ le nombre des coordonnées nulles d'un mot du code $c \in C$. La distance minimale de C est

$$d := n - \max\{z(c) \mid c \in C \setminus \{0\}\}.$$

Outils de géométrie algébrique \rightsquigarrow **borne** pour la distance minimale

Méthode

Mots du code : $(f(P_1), \dots, f(P_n))$, pour $f \in L(D)$.

Soit $(f)_+ = \sum_{\text{ord}_{\mathcal{C}}(f) > 0} \text{ord}_{\mathcal{C}}(f) \mathcal{C}$ (i.e. les zéros de f sont sur \mathcal{C}) et

$Z(f) :=$ nombre de points rationnels sur $(f)_+$

$Z(f) \geq \#$ zéros de $(f(P_1), \dots, f(P_n))$, d'où

$$d \geq n - \max_{f \in L(D) \setminus \{0\}} Z(f)$$

borne sup pour $Z(f) \Rightarrow$ borne inf pour la distance minimale

Méthode

Mots du code : $(f(P_1), \dots, f(P_n))$, pour $f \in L(D)$.

Soit $(f)_+ = \sum_{\text{ord}_{\mathcal{C}}(f) > 0} \text{ord}_{\mathcal{C}}(f) \mathcal{C}$ (i.e. les zéros de f sont sur \mathcal{C}) et

$Z(f) :=$ nombre de points rationnels sur $(f)_+$

$Z(f) \geq \#$ zéros de $(f(P_1), \dots, f(P_n))$, d'où

$$d \geq n - \max_{f \in L(D) \setminus \{0\}} Z(f)$$

borne sup pour $Z(f) \Rightarrow$ borne inf pour la distance minimale

$$Z(f) \leq \sum_{i=1}^k \# \mathcal{C}_i(\mathbb{F}_q)$$

La géométrie algébrique entre en jeu

Borner k :

- ◇ Avec la théorie de l'intersection sur les surfaces.

Borner $\#\mathcal{C}(\mathbb{F}_q)$:

- ◇ Différentes bornes existent déjà et peuvent être utilisées dans ce contexte (e.g. borne de Serre–Weil).
- ◇ Borne plus fine pour $\#\mathcal{C}(\mathbb{F}_q)$ pour les courbes sur une surface donnée \rightsquigarrow borne plus fine pour la distance minimale³.

³E. Berardini et J. Nardi, preprint 2021

La géométrie algébrique entre en jeu

Borner k :

- ◇ Avec la théorie de l'intersection sur les surfaces.

Borner $\#\mathcal{C}(\mathbb{F}_q)$:

- ◇ Différentes bornes existent déjà et peuvent être utilisées dans ce contexte (e.g. borne de Serre–Weil).
- ◇ Borne plus fine pour $\#\mathcal{C}(\mathbb{F}_q)$ pour les courbes sur une surface donnée \rightsquigarrow borne plus fine pour la distance minimale³.

La borne pour d dépend des invariants de la surface



Informations sur quelles surfaces donnent des bons codes, e.g.

- ✓ Surfaces abéliennes sans courbes irréductibles de genre petit⁴
- ✓ Surfaces fibrées sur une courbe de base avec peu de points rationnels⁵

³E. Berardini et J. Nardi, preprint 2021

⁴Y. Aubry, E. Berardini, F. Herbaut et M. Perret, Finite Fields Appl. 70 (2021)

⁵Y. Aubry, E. Berardini, F. Herbaut et M. Perret, Contemp. Maths. AMS (2021)

Questions futures

Calcul d'espaces de Riemann–Roch de courbes.

- ◇ Implementer l'algorithme (en cours)
- ◇ Calculer les espaces de Riemann–Roch de courbes non-ordinaires en caractéristique positive “petite” (en cours)
- ◇ Améliorer l'exposant de complexité dans le cas non-ordinaire (sous-quadratique ?)



Questions futures

Calcul d'espaces de Riemann–Roch de courbes.

- ◇ Implementer l'algorithme (en cours)
- ◇ Calculer les espaces de Riemann–Roch de courbes non-ordinaires en caractéristique positive “petite” (en cours)
- ◇ Améliorer l'exposant de complexité dans le cas non-ordinaire (sous-quadratique ?)



Dimension supérieure.

- ◇ Obtenir une borne plus fine pour le nombre de points rationnels d'une courbe sur une surface de \mathbb{P}^n donnée (fait pour $n = 3$, en cours pour $n > 3$)
- ◇ Appliquer les méthodes développées à l'étude de codes géométriques à partir de variétés de dimension supérieure
- ◇ Peut-on développer des techniques type "Brill–Noether" pour le calcul d'espaces de Riemann–Roch de surfaces ?

Questions futures

Calcul d'espaces de Riemann–Roch de courbes.

- ◇ Implementer l'algorithme (en cours)
- ◇ Calculer les espaces de Riemann–Roch de courbes non-ordinaires en caractéristique positive “petite” (en cours)
- ◇ Améliorer l'exposant de complexité dans le cas non-ordinaire (sous-quadratique ?)



Dimension supérieure.

- ◇ Obtenir une borne plus fine pour le nombre de points rationnels d'une courbe sur une surface de \mathbb{P}^n donnée (fait pour $n = 3$, en cours pour $n > 3$)
- ◇ Appliquer les méthodes développées à l'étude de codes géométriques à partir de variétés de dimension supérieure
- ◇ Peut-on développer des techniques type "Brill–Noether" pour le calcul d'espaces de Riemann–Roch de surfaces ?

Merci de votre attention !

Des questions ? e.berardini@tue.nl